

К93

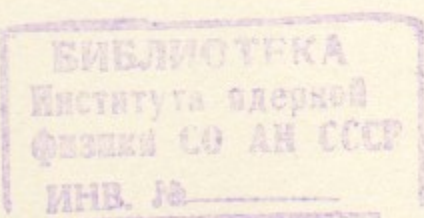
22

ИНСТИТУТ ЯДЕРНОЙ ФИЗИКИ  
СО АН СССР

КУРАЕВ Э.А. и др.

ПРОЦЕССЫ  $\gamma\gamma \rightarrow \mu^+\mu^-e^+e^-$  И  $\gamma\gamma \rightarrow e^+e^-e^+e^-$  КАК  
ОСНОВНЫЕ КАЛИБРОВОЧНЫЕ ПРОЦЕССЫ  
ДЛЯ ВСТРЕЧНЫХ  $\gamma\gamma$ -ПУЧКОВ  
ВЫСОКОЙ ЭНЕРГИИ.

ПРЕПРИНТ 82-107



Новосибирск

## А Н Н О Т А Ц И Я

Детально рассмотрены процессы  $\gamma\gamma \rightarrow \mu^+\mu^-e^+e^-$  и  $\gamma\gamma \rightarrow e^+e^-e^+e^-$  с поляризованными фотонами, которые могут использоваться для определения светимости встречных  $\gamma\gamma$ -пучков высокой энергии. Найдены полностью дифференциальные сечения, энергетические спектры, инклюзивные и полные сечения для этих процессов. Для реакции  $\gamma\gamma \rightarrow \mu^+\mu^-e^+e^-$  в одноинклюзивном сечении поляризационные эффекты достигают 19%.

Указана новая кинематическая область, дающая существенный вклад в сечение образования четырех струй в  $\gamma\gamma$ -соударениях.

Рассмотрен также процесс  $\gamma\gamma \rightarrow \pi^+\pi^-e^+e^-$  в борновском приближении.

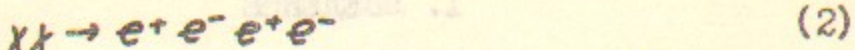
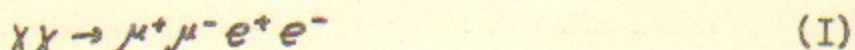
## I. ВВЕДЕНИЕ

1. Создание встречных  $e^+e^-$  пучков с энергией  $\gtrsim 100$  ГэВ, повидимому, наиболее перспективно на линейных ускорителях [1]. Такие принципиально новые установки в настоящее время проектируются в Новосибирске (проект ВЛЭПП, энергия  $2E = 300+1000$  ГэВ, светимость  $L_{ee} = 10^{32} \text{ см}^{-2}\text{с}^{-1}$  [2]) и в Стенфорде (SLC,  $2E = 100+140$  ГэВ,  $L_{ee} = 6 \cdot 10^{30} \text{ см}^{-2}\text{с}^{-1}$  [3]).

В работах [4, 5] показано, что на базе этих ускорителей можно получить встречные  $\gamma\gamma$ -пучки с примерно теми же энергиями и светимостями, что и для исходных  $e^+e^-$ -соударений. Необходимые для этого интенсивные  $\gamma$ -пучки предлагается получать при рассеянии света лазера на электронных пучках этих ускорителей. Позже подобное предложение было выдвинуто также в работе [6]. В работе [7] предложено использовать лазер на свободных электронах этого же пучка для реализации указанной в [4] схемы.

2. Один из главных параметров ускорителя со встречными пучками — светимость  $L$  определяется соотношением  $\dot{N} = L\sigma$ , где  $\dot{N}$  — число событий в единицу времени для процесса с сечением  $\sigma$ . Если известен достаточно точно рассчитываемый процесс с не слишком малым сечением  $\sigma$ , хорошо отделенный от других процессов и удобный для регистрации, то его измерение позволит независимым образом определить светимость установки  $L$ . При этом отпадает необходимость в детальных сведениях о трудно измеримом распределении плотности пучков в области встречи. Известно, что в  $e^+e^-$ -соударениях для определения светимости используется целый ряд хорошо рассчитываемых в рамках квантовой электродинамики процессов: упругое  $e^+e^-$ -рассеяние в области малых углов, однократное или двойное тормозное излучение (см., например, [8]).

Энергетический спектр фотонов, полученных при комптоновском рассеянии лазерных фотонов, будет довольно широким. Поэтому для предложенных в [4]  $\gamma\gamma$ -соударений проблема определения светимости заметно сложнее, поскольку здесь требуется калибровка как полной, так и спектральной светимости. Процессы низшего порядка по  $\sigma$  ( $\gamma\gamma \rightarrow \mu^+\mu^-$ ,  $\gamma\gamma \rightarrow e^+e^-$ ) имеют малое  $\sim \alpha^2/S$  сечение в рассматриваемой области энергий и потому непригодны для калибровки. В работе [5] предложены два основных калибровочных процесса:



Процесс (1) является, повидимому, более удобным из-за относительной простоты регистрации мюонов. Полное сечение этого процесса для неполяризованных фотонов вычислено в работах [9, 10], оно не зависит от энергии (при  $S \gg m_\mu^2$ ) и равно <sup>(\*)</sup>

$$\sigma_{\gamma\gamma \rightarrow \mu^+\mu^- e^+ e^-}^{\text{чирол}} = \frac{28 d^4}{27 \pi m_\mu^4} \left[ L + \frac{103}{21} L + \frac{485}{63} \right] = 5,67 \cdot 10^{-33} \text{ см}^2, \quad (1a)$$

$$L = \ln(m_\mu^2/m_e^2) = 10,7.$$

При светимости  $L_{\gamma\gamma} \sim 10^{31} \text{ см}^{-2} \text{с}^{-1}$  образуется 200 пар мюонов и электронов в час, что вполне достаточно для целей калибровки. В работе [10] вычислены также энергетические распределения мюонов и электронов для неполяризованных фотонов.

Полное сечение процесса (2) вычислено в работе [12], оно равно  $6,4 \cdot 10^{-30} \text{ см}^2$  и очень слабо зависит от поляризаций фотонов. Энергетические распределения электронов для неполяризованных фотонов определены в работе [8]. Для целей калибровки, повидимому, больший интерес представляют эти сечения, а инклузивные сечения в области больших ( $\gg m_e$ ) поперечных импульсов электронов, которые не были рассмотрены в [12] и [8].

3. В данной работе дано практическое описание реакций (1,2) с произвольным образом поляризованными фотонами. Отметим необходимость учета поляризаций фотонов, поскольку на ВЛЭПШ и SLC планируется иметь высокополяризованные  $e^-$  пучки, а поляризация  $\gamma$ -пучков возникает при комитоновском рассеянии из-за первоначальной поляризации как лазерных фотонов, так и электронов. Основные нетривиальные моменты расчета мы разбирали на примере реакции (1). Для нее мы нашли полное сечение, энергетические распределения электронов и мюонов, инклузивные по  $\mu^-$  и  $\mu^+\mu^-$  сечения и некоторые другие распределения. Оказалось, что все сечения зависят только от линейной поляризации

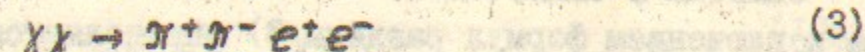
<sup>(\*)</sup> Полное сечение процесса (1) для поляризованных фотонов вычислялось в работе [11], однако, полученный там результат ошибочен, см. раздел 4.

фотонов и не зависит от круговой поляризации. Поляризационные эффекты в полностью дифференциальном сечении могут быть весьма велики и приводят к азимутальным корреляциям конечных частиц. В инклузивном сечении  $d\sigma/d^3 p_{\mu^-}$  поляризационные эффекты могут изменять сечение на  $\pm 19\%$ . А полное сечение и энергетические спектры слабо (на уровне  $< 1,4\%$ ) зависят от линейных поляризаций фотонов.

Для реакции (2) рассмотрены аналогичные сечения и проведено сравнение этих двух реакций.

4. Расчет реакций (1,2) в области больших поперечных импульсов имеет прямое отношение к четырехструйным процессам типа  $\gamma\gamma \rightarrow Q\bar{Q}q\bar{q}$  в квантовой хромодинамике ( $Q$  и  $q$  – разные, вообще говоря, кварки). Эти процессы рассматривались в работах Бродского, Де Гранда и др. [13] в логарифмическом приближении. Как следует из наших расчетов (см. раздел 3) их анализ является существенно неполным. Именно, они учитывали такой механизм рождения струй, когда каждый фотон фрагментирует в пару кварков с относительно небольшими поперечными импульсами  $\gamma_1 \rightarrow Q\bar{Q}$ ,  $\gamma_2 \rightarrow q\bar{q}$ , а затем два кварка при соударении  $Qq \rightarrow Qq$  приобретают большой поперечный импульс (см. (34)). Оказывается, есть другой механизм (дающий вклад того же порядка, а при  $m_Q \gg m_q$  являющийся доминирующим), при котором один фотон как и ранее фрагментирует в пару кварков  $\gamma_1 \rightarrow q\bar{q}$ , затем один из кварков испускает глюон небольшой энергии  $q \rightarrow gq$ , а глюон при столкновении с  $\gamma_1$  образует две струи  $\gamma_1 g \rightarrow Q\bar{Q}$  с большими поперечными импульсами, летящие в одну сторону (см. (24)). (Для реакции (1) этот механизм является определяющим). Мы надеемся вернуться к этому вопросу в отдельной публикации.

5. В разделе 5 мы рассмотрели для полноты процесс



в борновском приближении, считая пионы точечными частицами. Ранее полное сечение для этой реакции в данном приближении вычисляли Ченг и Ву [14]. Однако, их рассмотрение неудовлетворительно в двух отношениях. Во-первых, из их работы совершенно не ясно, имеет ли данное приближение хоть какое-нибудь отношение к реальным пионам. Во-вторых, их расчет в указанном приближении ошибочен (см. (54)). Основные результаты для этого процесса получаются достаточно просто из соответствующих сечений для

процесса (I).

6. Приведем основные обозначения, используемые в статье, на примере процесса (I) (см. рис. Ia). Мы используем систему отсчета, в которой оба фотона движутся навстречу друг другу (лобовое соударение) с разными, вообще говоря, энергиями  $\omega_1$  и  $\omega_2$  одного порядка  $\omega_1 \sim \omega_2$ . Ось  $\vec{z}$  выбрана вдоль импульса I-го фотона, так что 4-импульсы фотонов  $k_1 = \omega_1 (1, 0, 0, 1)$  и  $k_2 = \omega_2 (1, 0, 0, -1)$ . 4-импульсы конечных частиц  $p_i = (\varepsilon_i, \vec{p}_i)$ ,  $i = 1, 2, 3, 4$ , причем  $p_1 (p_2)$  соответствуют  $\mu^- (\mu^+)$ , а  $p_3 (p_4)$  соответствуют  $e^- (e^+)$ . Передача от первого фотона к мюонной паре

$$\vec{q} = p_1 + p_2 - k_1 = k_2 - p_3 - p_4, \quad (4a)$$

для поперечных к оси  $\vec{z}$  составляющих имеем

$$\vec{q}_\perp = \vec{p}_{1\perp} + \vec{p}_{2\perp} = -\vec{p}_{3\perp} - \vec{p}_{4\perp}. \quad (4b)$$

Углы  $\varphi_1$  и  $\varphi_2$  – азимутальные углы векторов  $\vec{p}_i$  и  $\vec{q}$ . Кроме того, обозначим

$$s = 2k_1 k_2 = 4\omega_1 \omega_2, \quad s_1 = 2k_1 q, \quad s_2 = -2k_2 q, \quad (5)$$

$x_{1,2} = \varepsilon_{1,2}/\omega_i$ ,  $y_{1,2} = \varepsilon_{3,4}/\omega_2$ , т.е.  $x_{1,2}$  есть доля энергии первого фотона уносимая  $\mu^\pm$ , а  $y_{1,2}$  – доля энергии второго фотона, уносимая  $e^\pm$ .

Поляризационное состояние первого (второго) фотона задается параметрами Стокса  $\xi_i$  ( $\tilde{\xi}_i$ ); степень линейной поляризации

$$\ell_i = \sqrt{\xi_i^2 + \tilde{\xi}_i^2} \quad \text{и} \quad \ell_2 = \sqrt{\tilde{\xi}_1^2 + \tilde{\xi}_2^2}; \quad \text{часто встречающаяся комбинация} \\ \sum_i = \xi_3 \tilde{\xi}_3 - \xi_4 \tilde{\xi}_4 = \ell_1 \ell_2 \cos 2\gamma \quad (6)$$

где  $\gamma$  – угол между направлениями максимальной линейной поляризации первого и второго фотонов.

Отметим в заключение, что точность всех приводимых формул (за исключением формул раздела 3) определяется отброшенными слагаемыми, которые имеют относительную малость

$$\sim \frac{\vec{p}_{i\perp}^2 + m_i^2}{s}, \quad (7)$$

## 2. ОБЩИЕ ФОРМУЛЫ ДЛЯ ПРОЦЕССА $\gamma\gamma \rightarrow M^+ \mu^- e^+ e^-$

I. При высокой энергии сталкивающихся фотонов  $\omega_{1,2} \gg m_\mu$  основной вклад в сечение процесса (I) дают две блочные диаграммы рис. Ia, c фотонным обменом в  $t$ -канале. Частицы каждой из рожденных пар летят вдоль импульса "своего" фотона, имея большие энергии  $\varepsilon_i \sim \omega_{1,2}$  и малые поперечные импульсы  $p_{i\perp} \ll \omega_{1,2}$ . Поэтому с точностью (7) интерференция диаграмм рис. Ia и Ib отсутствует, т.е.

$$d\sigma_{\gamma\gamma \rightarrow M^+ \mu^- e^+ e^-} = d\sigma_a + d\sigma_b; \quad d\sigma_b = d\sigma_a (p_{1,2} \leftrightarrow p_{3,4}), \quad (8)$$

где сечение  $d\sigma_a$  отвечает диаграмме рис. Ia.

В свою очередь сечение  $d\sigma_a$  с той же точностью можно представить в виде (см. приложение A)

$$d\sigma_a = \frac{d\sigma_1 ds_1}{s_1} \frac{d\sigma_2 ds_2}{s_2} \frac{d^2 q_\perp}{4\pi^4}, \quad (9)$$

где  $d\sigma_{1,2}$  соответствует верхнему (нижнему) блоку на рис. Ia. Точнее,  $d\sigma_i$  есть сечение процесса рис. Ic, в котором виртуальный фотон имеет "массу"  $q^2 \approx -\vec{q}_\perp^2$  и вектор поляризации  $\vec{q}_\perp/|\vec{q}_\perp|$ :

$$\frac{d\sigma_i ds_i}{s_i} = 2\alpha^2 (1 - 2x_i x_2 G) \frac{d^2 p_{1\perp} dx_1 d^2 p_{2\perp} dx_2}{(\vec{p}_{1\perp}^2 + m_\mu^2)(\vec{p}_{2\perp}^2 + m_\mu^2)} \delta(\vec{p}_{1\perp} + \vec{p}_{2\perp} - \vec{q}_\perp) \delta(x_1 + x_2 - 1); \quad (10a)$$

$$G = \frac{1}{\vec{q}_\perp^2} \left[ \vec{Q}^2 + (Q_x^2 - Q_y^2) \xi_3 + 2Q_x Q_y \tilde{\xi}_3 \right] (\vec{p}_{1\perp}^2 + m_\mu^2)(\vec{p}_{2\perp}^2 + m_\mu^2)$$

$$\vec{Q} = \frac{\vec{p}_{1\perp}}{\vec{p}_{1\perp}^2 + m_\mu^2} + \frac{\vec{p}_{2\perp}}{\vec{p}_{2\perp}^2 + m_\mu^2}.$$

Для нижнего блока

$$\frac{d\sigma_2 ds_2}{s_2} = \frac{d\sigma_1 ds_1}{s_1} (\vec{p}_{1,2\perp} \vec{p}_{3,4\perp}, \vec{q}_\perp \rightarrow \vec{p}_2, m_\mu \rightarrow m_e, x_{1,2} \rightarrow y_{1,2}, \tilde{\xi}_3 \rightarrow \tilde{\xi}_4, \tilde{\xi}_4 \rightarrow -\tilde{\xi}_1) \quad (10b)$$

Формулы (8–10) определяют полностью дифференциальное сечение процесса и являются основой для получения различных частных распределений. Обратим внимание на то, что этот ответ не зависит от  $\xi_a$  и  $\tilde{\xi}_2$ , т.е. от круговой поляризации фотонов.

2. При фиксированных значениях  $\vec{p}_{1,2\perp}$  вся зависимость сечения  $d\sigma_a$  от  $x_i$  и  $\xi_i$  определяется выражением  $x_i x_2 G$ . Рассмотрим подробнее функцию  $G$ . Используя явный вид  $\vec{Q}$  можно

показать, что

$$0 < G < 2$$

В частности, при  $m_e \ll p_{4L} \ll p_{3L} = q_L$  имеем

$$G = 1 + \tilde{F}_3 \cos 2\varphi_1 + \tilde{F}_1 \sin 2\varphi_1.$$

При  $q_L \ll p_{4L}$  (при этом  $\vec{p}_{4L} \approx -\vec{p}_{3L}$ ) имеем

$$G = \frac{1}{(1+p)^2} \left\{ 1 + p^2 - 2p(p_1 \cos 2\varphi_1 + \cos 2\varphi) + p_1 [p^2 \cos 2(\varphi_1 + \varphi) + \cos 2(\varphi_1 - \varphi)] \right\} \quad (I2B)$$

где  $p = \vec{p}_{4L}^2 / m_e^2$ , а  $y_1(\varphi)$  — угол между вектором  $\vec{p}_{4L}$  и направлением поляризации первого фотона (вектором  $\vec{q}_1$ ). Из формул (II-I2) видно, что зависимость от  $x_{1,2}$  плавная, сечение (I0a) и, следовательно,  $d\sigma_q$  имеет максимум при  $x_1 \rightarrow 0$  и  $x_1 \rightarrow 1$  и минимум при  $x_1 = x_2 = 1/2$ .

3. В дальнейшем окажется полезным знать поведение сечения  $d\sigma_2$  в двух симметричных областях

$$m_e \ll p_{3L} \ll p_{4L}, \quad \vec{p}_{4L} \approx -\vec{q}_L, \quad (I3a)$$

$$m_e \ll p_{4L} \ll p_{3L}, \quad \vec{p}_{3L} \approx -\vec{q}_L. \quad (I3b)$$

В первой из них (с учетом (I2a))

$$\frac{d\sigma_2 ds_2}{s_2} = 2\alpha^2 \left[ 1 - 2y_1(1-y_1)(1 + \tilde{F}_3 \cos 2\varphi_3 - \tilde{F}_1 \sin 2\varphi_3) \right] \frac{d^2 p_{3L} dy_1}{\vec{p}_{3L}^2 \vec{q}_L^2}. \quad (I4)$$

Отсюда видно, что в первой (второй) области (I3) распределение по  $P_{3L}$  ( $P_{4L}$ ) имеет логарифмический характер:  $d^2 p_{3L} / P_{3L}^2$  ( $d^2 p_{4L} / P_{4L}^2$ ) и что при азимутальном усреднении этого сечения по углу  $\varphi_3(\varphi_4)$  зависимость от  $\tilde{F}_i$  исчезает. Без такого усреднения величина поляризационных эффектов определяется относительным коэффициентом при  $-\tilde{F}_3 \cos 2\varphi_3 + \tilde{F}_1 \sin 2\varphi_3$ , который равен  $2y_1(1-y_1)/[1 - 2y_1(1-y_1)]$  и может достигать 1. Отсюда видно, что в области (I3a) электрон вылетает преимущественно в плоскости перпендикулярной направлению линейной поляризации второго фотона.

4. Для получения энергетического распределения необходимо провести интегрирование по  $\vec{p}_{1,2L}$  в (I0a). При этом мы получим (см. приложение A)

$$\frac{d\sigma_1 ds_1}{s_1} = \frac{8\pi\alpha^2}{\vec{q}_L^2} \left\{ F_1 - x_1 x_2 [F_2 + (2F_1 - F_2)(\tilde{F}_3 \cos 2\varphi_3 + \tilde{F}_1 \sin 2\varphi_3)] \right\} \delta(x_1 + x_2 - 1) dx_1 dx_2 \quad (I5a)$$

(II)

(I2a)

$$F_i \equiv F_i \left( \frac{|\vec{q}_L|}{2m_e} \right), \quad F_1(z) = \frac{z \operatorname{Arsh} z}{\sqrt{1+z^2}}, \quad F_2 = \frac{2z^2+1}{2\sqrt{1+z^2}} \operatorname{Arsh} z - 1,$$

где  $\varphi_q$  — азимутальный угол вектора  $\vec{q}_1$ . Аналогично

$$\frac{d\sigma_2 ds_2}{s_2} = \frac{8\pi\alpha^2}{\vec{q}_L^2} \left\{ \tilde{F}_1 - y_1 y_2 [\tilde{F}_2 + (2\tilde{F}_1 - \tilde{F}_2)(\tilde{F}_3 \cos 2\varphi_3 - \tilde{F}_1 \sin 2\varphi_3)] \right\} \delta(y_1 + y_2 - 1) dy_1 dy_2 \quad (I5b)$$

$$\tilde{F}_i = F_i \left( \frac{|\vec{q}_L|}{2m_e} \right).$$

При малых  $q_L$  сечения (I5) конечны, например, при  $q_L \ll m_e$

$$\frac{d\sigma_2 ds_2}{s_2} = \frac{2\pi\alpha^2}{3m_e^2} \left[ 3 - 2y_1 y_2 (2 + \tilde{F}_3 \cos 2\varphi_3 - \tilde{F}_1 \sin 2\varphi_3) \right] \delta(y_1 + y_2 - 1) dy_1 dy_2. \quad (I6a)$$

При больших  $q_L$  они убывают  $\sim 1/q_L^2$ , например, при  $q_L \gg m_e$

$$\frac{d\sigma_2 ds_2}{s_2} = \frac{4\pi\alpha^2}{\vec{q}_L^2} \left[ (1 - 2y_1 y_2) \ln \frac{\vec{q}_L^2}{m_e^2} + 2y_1 y_2 (1 - \tilde{F}_3 \cos 2\varphi_3 + \tilde{F}_1 \sin 2\varphi_3) \right] \delta(y_1 + y_2 - 1) dy_1 dy_2. \quad (I6b)$$

Главный логарифмический вклад в это сечение возникает как раз из областей (I3).

Из (I6) видно, что относительная величина слагаемых, пропорциональных  $\tilde{F}_i$  есть

$$\frac{y_1 y_2 (2\tilde{F}_1 - \tilde{F}_2)}{\tilde{F}_1 - y_1 y_2 \tilde{F}_2} \leq \begin{cases} 1/4, & q_L \ll m_e \\ [\ln(\vec{q}_L^2/m_e^2) + 1]^{-1}, & q_L \gg m_e, \end{cases} \quad (I7)$$

т.е. при малых  $q_L$  поляризационные эффекты численно не велики, хотя и могут достигать 25%, а при больших  $q_L$  они логарифмически подавлены.

### 3. КАЧЕСТВЕННОЕ ОПИСАНИЕ РЕАКЦИИ $\gamma\gamma \rightarrow \mu^+\mu^-e^+e^-$ (СТАРШЕЕ ЛОГАРИФМИЧЕСКОЕ ПРИБЛИЖЕНИЕ)

Общие формулы для реакции (I), полученные в предыдущем разделе, достаточно сложны. Между тем в областях, дающих главный вклад, ситуация существенно упрощается и допускает простое и наглядное истолкование. Так, при вычислении полного сечения и энергетических распределений возникает большой параметр  $L = \ln(m_\mu^2/m_e^2) = 10,7$ ; при вычислении инклузивного сечения имеется большой параметр  $\ln[(p_{1\perp}^2 + m_\mu^2)/m_e^2] > L$ , а в области очень больших значений  $p_{1\perp}$  еще и  $\ln(p_{1\perp}^2/m_\mu^2)$ . Поэтому вычисления в старшем логарифмическом приближении, обладая простотой, могут дать качественное понимание и даже вполне приемлемую для быстрых оценок точность.

1. Рассмотрим процесс образования  $\mu^-$  мезона, соответствующий диаграмме рис. Iа. Будем считать, что поперечный импульс мезона не слишком велик

$$m_\mu \approx p_{1\perp} \ll m_\mu^2/m_e = 20 \text{ ГэВ}. \quad (18)$$

Смысл этого ограничения выяснится ниже, во всяком случае, эта область охватывает все практически интересные значения  $p_{1\perp}$ . При этом основной областью, дающей главный логарифмический вклад, является область малых значений  $q_\perp$ :

$$\vec{q}_\perp^2 \ll \vec{p}_{1\perp}^2 + m_\mu^2, \quad \vec{p}_{2\perp} \approx -\vec{p}_{1\perp} \quad (19)$$

и области (I3) для  $p_{3,4\perp}$ . В области (19) для верхнего блока виртуальный фотон можно рассматривать как почти реальный с частотой

$$\omega = \frac{s_1}{4\omega_1} = \frac{\vec{p}_{1\perp}^2 + m_\mu^2}{4\omega_1 x_1 x_2}, \quad (20)$$

а сечение  $d\sigma_1$  — как сечение реального процесса  $\gamma\gamma \rightarrow \mu^+\mu^-$  для поляризованных фотонов (ср. (5.33) из [15])

$$d\sigma_1 = d\sigma_{\gamma\gamma \rightarrow \mu^+\mu^-} = 2\alpha^2 [1 - 2x_1(1-x_1)\mathcal{G}] \frac{d^2 p_{1\perp} dx_1}{(\vec{p}_{1\perp}^2 + m_\mu^2)^2} \omega \delta\left(\omega - \frac{\vec{p}_{1\perp}^2 + m_\mu^2}{4\omega_1 x_1(1-x_1)}\right), \quad (21)$$

где  $\mathcal{G}$  определено в (12в).

После этого легко увидеть, что рассматриваемый процесс можно представить в виде трех последовательных подпроцессов.

I) Фотон  $k_2$  порождает реальный электрон с поперечным импульсом  $\vec{p}_{3\perp}$  и долей энергии  $y_1$  и виртуальный позитрон с поперечным импульсом  $\vec{p}_\perp = -\vec{p}_{3\perp}$  и долей энергии  $y = 1-y_1$  (см. область (I3а)). Число таких виртуальных позитронов обозначим  $d n_{e^+}(\vec{p}_\perp, y)$ . В области (I3в) фотон  $k_2$  порождает  $d n_{e^-}(p_\perp, y)$  виртуальных электронов с  $\vec{p}_\perp = -\vec{p}_{4\perp}$ ,  $y = 1-y_2=y_1$ , где (ср. (14))

$$d n_{e^\pm}(\vec{p}_\perp, y) = \frac{\alpha}{2\pi^2} \frac{d^2 p_\perp dy}{p_\perp^2} [1 - 2y(1-y)(1 + \tilde{\mathcal{G}}_3 \cos 2\varphi_p + \tilde{\mathcal{G}}_1 \sin 2\varphi_p)] \quad (22)$$

( $\varphi_p$  — азимутальный угол вектора  $\vec{p}_\perp$ ).

2) Виртуальный позитрон (или электрон) испускает эквивалентные фотоны, число которых

$$d n_\gamma(\vec{q}_\perp, \omega) = \frac{\alpha}{\pi^2} \frac{d^2 q_\perp}{\vec{q}_\perp^2} \frac{d\omega}{\omega} \quad (23)$$

Эти фотоны полностью линейно поляризованы, их вектор поляризации равен  $\vec{q}_\perp / |\vec{q}_\perp|$ .

3) Эквивалентные фотоны сталкиваются с реальным поляризованным фотоном  $k_1$  и образуют  $\mu^+\mu^-$  пару; сечение этого процесса дается формулой (21).

В итоге, сечение  $d\sigma_a$  (9) можно в области (18) представить в виде

$$d\sigma_a = [d n_{e^+}(-p_{3\perp}, y_2) + d n_{e^-}(-\vec{p}_{4\perp}, y_1)] d n_\gamma(q_\perp, \omega) d\sigma_{\gamma\gamma \rightarrow \mu^+\mu^-}(\vec{p}_{1\perp}, x_1, \omega_1) \quad (24)$$

Отметим, что до выполнения азимутальных усреднений поляризационные эффекты могут быть велики. Так, относительный коэффициент при  $\tilde{\mathcal{G}}_3$  в  $d n_{e^+}$  равен  $-2y_1(1-y_2)[1-2y_1(1-y_2)]^{-1} \cos 2\varphi_3$  и может достигать значений  $\pm 1$ .

2. Из сечения (24) легко получать самые разные распределения. Так, энергетические распределения можно получить, интегрируя  $d n_{e^\pm}$  по  $\vec{p}_{3,4\perp}$  в области (I3), а  $d\sigma_{\gamma\gamma \rightarrow \mu^+\mu^-}$  по  $\vec{p}_{1\perp}$  и далее  $d\sigma_a$  по  $\vec{q}_\perp$  в области  $m_e \ll q_\perp \ll m_\mu$ :

$$d\sigma_a = \frac{\alpha^4}{\pi m_\mu^2} \left[1 - \frac{4}{3}x_1(1-x_1)\right] [1-2y_1(1-y_1)]^2 d x_1 d y_1. \quad (25)$$

Сравнение полученного отсюда полного сечения с  $\langle G \rangle$  позволяет оценить, что точность старшего логарифмического приближения равна примерно 30%.

Аналогично, подставляя в (24)  $n_{e+} + n_{e-} = \frac{2\alpha}{3\pi} \ln(\tilde{q}_\perp^2/m_e^2)$ , получим дважды инклузивное сечение

$$d\sigma_a = \frac{4\alpha^4}{3\pi^3} (1-2x_1 x_2 G) \frac{d^2 p_\perp dx_1 d^2 p_{2\perp} dx_2}{\tilde{q}_\perp^2 (\tilde{p}_{1\perp}^2 + m_\mu^2)^2} \ln \frac{\tilde{q}_\perp^2}{m_e^2} \delta(x_1 + x_2 - 1) \quad (26)$$

Характерной особенностью этого сечения является острый пик при малых значениях суммарного поперечного импульса пары  $\tilde{q}_\perp$ . Из (26) видно, что в данном приближении мюоны "помнят" только поляризацию "своего" фотона.

3. Одним из следствий малости  $q_\perp$  по сравнению с  $p_{1,2\perp}$  является характерное острое распределение по углу раскомпланарности  $\gamma$  — углу между вектором  $\tilde{p}_{1\perp}$  и  $(-\tilde{p}_{2\perp})$ . Ситуация в этом отношении очень близка к случаю рождения пары частиц эквивалентными фотонами в  $e^+e^-$ -соударениях (см. [15], раздел 5.6). Повторяя выкладки указанного раздела, получим из (26) в логарифмическом приближении (при  $|V| \gg m_e/p_{1\perp}$ )

$$d\sigma_a = \frac{2\alpha^4}{3\pi^2} \left[ 1 - 2x_1(1-x_1) \frac{\tilde{p}_{1\perp}^2 + m_\mu^2}{(\tilde{p}_{1\perp}^2 + m_\mu^2)^2} \right] \frac{d\gamma d\tilde{p}_{1\perp}^2 dx_1}{|\sin \frac{\gamma}{2}| (\tilde{p}_{1\perp}^2 + m_\mu^2)^2} \ln \frac{4\tilde{p}_{1\perp}^2 \sin^2 \frac{\gamma}{2}}{m_e^2} \quad (27)$$

4. Инклузивное по  $\mu^-$  сечение получим, интегрируя (26) по  $\tilde{q}_\perp$  в области  $m_e^2 \ll q_\perp^2 \ll p_{1\perp}^2 + m_\mu^2$ . При усреднении функции  $G$  (I2в) по азимутальному углу вектора  $\tilde{q}_\perp$  она сильно упрощается (ср. (I2в))

$$\langle G \rangle = \int G \frac{d\Phi_e}{2\pi} = \frac{1 + p^2 - 2p l_1 \cos 2\gamma_1}{(1+p)^2} \quad (28)$$

В итоге

$$d\sigma_a = \frac{2\alpha^4}{3\pi^2} \left[ 1 - 2x_1(1-x_1) \langle G \rangle \right] \frac{d^2 p_\perp dx_1}{(\tilde{p}_{1\perp}^2 + m_\mu^2)^2} \left( \ln \frac{\tilde{p}_{1\perp}^2 + m_\mu^2}{m_e^2} \right)^2 \quad (29)$$

Величина поляризационных эффектов определяется относительным коэффициентом при  $l_1 \cos 2\gamma_1$ , который есть  $4x_1(1-x_1)p \cdot [(1+p)^2 - 2x_1(1-x_1)(1+p^2)]^{-1}$  и имеет равный 1/3 максимум при  $p_{1\perp} = m_\mu$  и

$x_1 = 1/2$ . При  $p_{1\perp} \gg m_\mu$  функция  $\langle G \rangle \rightarrow I$  и поляризационные эффекты исчезают.

5. Откажемся теперь от ограничения (18) и рассмотрим область очень больших  $p_{1\perp} \gg m_\mu$ , требуя лишь, чтобы  $p_{1\perp} \ll \sqrt{s}$ . И при этих условиях остается справедливым утверждение о том, что области (I3), (I9) дают логарифмически большой вклад. Но теперь возникает и новая область, в которой мюонная пара ведет себя подобно электронной, т.е. имеет резко несимметричное распределение, аналогичное (I3):

$$m_\mu \ll p_{1\perp} \ll p_{2\perp} \approx q_\perp, \quad (30a)$$

$$m_\mu \ll p_{2\perp} \ll p_{1\perp} \approx q_\perp. \quad (30b)$$

Соответствующие подпроцессы теперь выглядят так: 1) тот же, что и раньше. 2) Фотон  $k_1$  порождает  $d\eta_{\mu^+}(-\tilde{p}_{1\perp}, x_2)$  виртуальных  $\mu^+$  или  $d\eta_{\mu^-}(-\tilde{p}_{2\perp}, x_1)$  виртуальных  $\mu^-$ , поперечные импульсы которых малы по сравнению с  $q_\perp$ . Число виртуальных мюонов есть (ср. (22))

$$d\eta_{\mu^\pm}(\tilde{p}_\perp, x) = \frac{\alpha}{2\pi^2} \frac{d^2 p_\perp dx}{\tilde{p}_\perp^2} \left[ 1 - 2x(1-x)(1 + \xi_3 \cos 2\varphi_p - \xi_1 \sin 2\varphi_p) \right]. \quad (31)$$

3) Виртуальные  $\mu^\pm$  сталкиваются с виртуальными  $e^\pm$  и приобретают большой поперечный импульс, примерно равный  $q_\perp$ . Сечение этого процесса

$$d\sigma_{\mu e \rightarrow \mu e} = \frac{4\alpha^2}{q_\perp^4} d^2 q_\perp. \quad (32)$$

В итоге, сечение  $d\sigma_a$  состоит из двух вкладов

$$d\sigma_a = d\sigma_a^I + d\sigma_a^{II} \quad (33)$$

где  $d\sigma_a^I$  — это прежний вклад (24) из областей (I3) и (I9), а  $d\sigma_a^{II}$  — новый вклад из областей (I3) и (30)

$$d\sigma_a^{II} = [d\eta_{\mu^+}(-\tilde{p}_{1\perp}, x_2) + d\eta_{\mu^-}(-\tilde{p}_{2\perp}, x_1)] \cdot d\sigma_{\mu e \rightarrow \mu e}(q_\perp) \cdot [d\eta_{e^+}(-\tilde{p}_{1\perp}, y_2) + d\eta_{e^-}(-\tilde{p}_{2\perp}, y_1)]. \quad (34)$$

В частности, инклузивное по  $\mu^-$  сечение  $d\sigma_a^{II}$  возникает из областей (I3) и (30в), в которых  $\tilde{p}_{1\perp} \approx \tilde{q}_\perp$ ,

$$d\sigma_a = d\eta_{\mu^-}(x_1) (n_{e^+} + n_{e^-}) d\sigma_{\mu^- \rightarrow \mu^-}(\vec{p}_{1\perp}) = \\ = \frac{4\alpha^4}{3\pi^2} \left[ 1 - 2x_1(1-x_1) \right] \frac{d^2 p_{1\perp} dx_1}{\vec{p}_{1\perp}^4} \ln \frac{\vec{p}_{1\perp}^2}{m_e^2} \ln \frac{\vec{p}_{1\perp}^2}{m_\mu^2}; \quad p_{1\perp} \approx q_1 \gg m_\mu.$$
(35)

Сечение (35) сравнивается с сечением (29) лишь при  $2\ln(\vec{p}_{1\perp}^2/m_\mu^2) \approx \ln(\vec{p}_{1\perp}^2/m_e^2)$ , т.е. при  $\vec{p}_{1\perp} \sim m_\mu^2/m_e$ . При меньших  $\vec{p}_{1\perp}$  сечение (35) мало, отсюда и получаем ограничение (18).

#### 4. ЭНЕРГЕТИЧЕСКИЕ РАСПРЕДЕЛЕНИЯ И ПОЛНОЕ СЕЧЕНИЕ РЕАКЦИИ $\gamma\gamma \rightarrow \mu^+\mu^- e^+ e^-$

Чтобы получить энергетические спектры мюонов и электронов, подставим в (9) выражения (15) и проведем интегрирование по  $\vec{q}_1$ . При этом возникают интегралы вида

$$\mathcal{I}_{ij} = \int_0^\infty \frac{dt}{t} F_i(t) F_j\left(\frac{m_\mu}{m_e} t\right), \quad i,j = 1,2,$$
(36)

которые уже были вычислены в [10] :

$$a = \mathcal{I}_{11} = \frac{1}{8} L^2 + \frac{1}{2} L + 1 = 20,5; \quad L = \ln \frac{m_\mu^2}{m_e^2} = 10,66;$$

$$b = \mathcal{I}_{21} = \frac{1}{6} L^2 + \frac{13}{18} L + \frac{40}{27} = 28,1;$$
(37)

$$c = \mathcal{I}_{12} = \frac{1}{4} L^2 + \frac{1}{2} L + 2 = 35,8;$$

$$d = \mathcal{I}_{22} = \frac{1}{3} L^2 + \frac{7}{9} L + \frac{27}{27} = 49,0.$$

Относительный порядок отброшенных при вычислении  $\mathcal{I}_{ij}$  членов есть  $m_e^2/m_\mu^2$ . В итоге получаем

$$d\sigma_a = \frac{8\alpha^4}{\pi m_\mu^2} \left[ a - x_1 x_2 b - y_1 y_2 c + x_1 x_2 y_1 y_2 (d + f \Sigma_-) \right].$$
(38)

$$\delta(x_1 + x_2 - 1) \delta(y_1 - y_2 - 1) dx_1 dy_1 dy_2;$$

$$f = 2a - b - c + \frac{1}{2}d = \frac{1}{6}L - \frac{1}{18} = 1,72,$$

где  $\Sigma_-$  определено в (6). Видно, что вклад слагаемого, пропорционального  $\Sigma_-$  мал ( $\leq 1,4\%$ ) (как и ожидалось, см (17), (25)).

Интегрируя по  $y_{1,2}$  получим энергетические спектры мюонов, летящих вдоль направления движения первого фотона.

$$d\sigma_a = \frac{8\alpha^4}{\pi m_\mu^2} \left[ a - \frac{1}{6}b - x_1 x_2 \left( b - \frac{1}{6}d - \frac{1}{6}f\Sigma_- \right) \right] \delta(x_1 + x_2 - 1) dx_1 dx_2. \quad (39a)$$

Добавляя вклад  $d\sigma_B$ , получим окончательно

$$\frac{d\sigma_{\gamma\gamma \rightarrow \mu^+\mu^- e^+ e^-}}{dx_1 dx_2} = 3,68 \cdot 10^{-33} \text{ см}^2 \left\{ \left[ 1 - 1,37 \frac{\epsilon_1 \epsilon_2}{\omega_1^2} (1 - 0,014\Sigma_-) \right] \cdot \frac{\delta(\epsilon_1 + \epsilon_2 - \omega_1)}{\omega_1} + (\omega_1 \rightarrow \omega_2) \right\}. \quad (39b)$$

Полное сечение процесса (I) получим, интегрируя (39a) по  $x_{1,2}$  и добавляя  $\sigma_B = \sigma_a$  (ср. (1a)):

$$\sigma_{\gamma\gamma \rightarrow \mu^+\mu^- e^+ e^-} = 2\sigma_a = \sigma_{\gamma\gamma \rightarrow \mu^+\mu^- e^+ e^-}^{\text{unpol}} + \frac{2\alpha^4}{27\pi m_\mu^2} (L - \frac{1}{3}) \Sigma_- . \quad (40)$$

Сечение (40) в два раза больше полученного в [II]. Это различие обусловлено так, что в [II] учтен только вклад  $\sigma_a$  и пропущен вклад  $\sigma_B$ .

При  $\Sigma_- = 0$  наши формулы (38–40) совпадают с соответствующими формулами из [9, 10].

#### 5. ИНКЛЮЗИВНЫЕ СЕЧЕНИЯ $d\sigma/d^3 p_1 d^3 p_2$ И $d\sigma/d^3 p_1$ ДЛЯ ПРОЦЕССА $\gamma\gamma \rightarrow \mu^+\mu^- e^+ e^-$

I. Инклюзивное по обоим мюонам сечение можно получить, подставляя в (9) вместо  $d\sigma_a d\epsilon_1/s_1$  выражение (10a), а вместо  $d\sigma_a d\epsilon_2/s_2$  выражение (15b) и интегрируя по  $\vec{q}_{1\perp}$ ,  $y_{1,2}$ :

$$d\sigma_a = \frac{2\alpha^4}{3\pi^3} (1 - 2x_1 x_2 G) \frac{\delta(x_1 + x_2 - 1) d^2 p_{1\perp} dx_1 d^2 p_{2\perp} dx_2}{(\vec{p}_{1\perp} + \vec{p}_{2\perp})^2 (\vec{p}_{1\perp}^2 + m_\mu^2) (\vec{p}_{2\perp}^2 + m_\mu^2)} \cdot [6\tilde{F}_1 - \tilde{F}_2 - (2\tilde{F}_1 - \tilde{F}_2)(\tilde{\xi}_3 \cos 2\varphi_\theta - \tilde{\xi}_1 \sin 2\varphi_\theta)].$$
(41)

Видно, что распределение по  $x_i$  — гладкое, а распределение по поперечным импульсам имеет острый пик при малых значениях  $\vec{q}_1 = \vec{p}_{1\perp} + \vec{p}_{2\perp}$  — суммарного поперечного импульса мюонов (см. обсуждение в пункте 3.2 и 3.3).

2. Интегрируя (41) по  $\vec{q}_1$  и  $x_2$ , получим инклюзивное по  $\mu^-$  сечение (см. приложение В)

$$d\sigma_a = \frac{2\alpha^4}{3\pi^2} \int \frac{d^2 p_u dx_1}{m_\mu^4}; \quad J = F_0 + F_3 \Sigma_3 + F_- \Sigma_- + F_+ \Sigma_+ + \tilde{F}_3 \tilde{\Sigma}_3. \quad (42a)$$

Здесь комбинации параметров Стокса фотонов определены соотношениями (см. также (6) и рис.2)

$$\Sigma_3 = \xi_3 \cos 2\varphi_1 + \xi_1 \sin 2\varphi_1 = \ell_1 \cos 2\gamma_1,$$

$$\Sigma_- = \xi_3 \tilde{\xi}_3 - \xi_1 \tilde{\xi}_1 = \ell_1 \ell_2 \cos 2(\gamma_1 - \gamma_2), \quad (42b)$$

$$\Sigma_+ = (\xi_3 \tilde{\xi}_3 + \xi_1 \tilde{\xi}_1) \cos 4\varphi_1 + (\xi_3 \tilde{\xi}_1 - \xi_1 \tilde{\xi}_3) \sin 4\varphi_1 = \ell_1 \ell_2 \cos 2(\gamma_1 + \gamma_2),$$

$$\tilde{\Sigma}_3 = \tilde{\xi}_3 \cos 2\varphi_1 - \tilde{\xi}_1 \sin 2\varphi_1 = \ell_2 \cos 2\gamma_2,$$

где  $\varphi_1$  – азимутальный угол  $\mu^-$ , а  $\gamma_1(\gamma_2)$  – угол между вектором  $\vec{p}_{1\perp}$  и направлением максимальной линейной поляризации первого (второго) фотона. Для записи входящих в  $J$  функций определим

$$\rho = \frac{p_{1\perp}}{m_e^2}, \quad \ell = \ln(1+\rho), \quad L = \ln \frac{m_\mu^2}{m_e^2}, \quad (42c)$$

$$R = L^2 + 2(2L+1)\ell + L + 4\ell^2 - 2 \int_0^\rho \frac{dx}{x} \ln(1+x) + \frac{\pi^2}{3} - 2,$$

тогда

$$F_0 = \frac{R}{(1+\rho)^2} - \frac{2x_1(1-x_1)}{(1+\rho)^4} \left[ (1+\rho)^2 R - (2L+1)(\rho^2 - 4\rho + 1) - 2\ell(\rho^2 - 8\rho + 3) - 4\rho \right],$$

$$F_3 = \rho \frac{4x_1(1-x_1)}{(1+\rho)^4} \left[ R - 6L - 3 + \frac{\ell}{\rho^2} (1 + 4\rho - 9\rho^2) - \frac{1}{\rho} - \rho \right],$$

$$F_- = \frac{x_1(1-x_1)}{(1+\rho)^4} \left( L + 2\ell - 3 + 3\rho + \frac{1}{2}\rho^2 \right), \quad (42d)$$

$$F_+ = \frac{x_1(1-x_1)}{(1+\rho)^4} \left[ \rho^2(L-3) + \frac{17}{2} + 8\rho + \frac{3}{\rho} - \ell \left( \frac{3}{\rho^2} + \frac{10}{\rho} + 12 + 6\rho - \rho^2 \right) \right],$$

$$\tilde{F}_3 = -\frac{\ell(1+\rho)-\rho}{\rho(1+\rho)^2} - \frac{x_1(1-x_1)}{(1+\rho)^4} \left[ 2\rho L + 4\rho^2 - 5\rho + 2 - 2\ell \left( \frac{1}{\rho} + 3 + \rho + \rho^2 \right) \right].$$

Зависимость инклюзивного сечения (42) от параметров Стокса "чужого" фотона  $\xi_i$  определяется отношениями  $F_+/F_0$  и  $\tilde{F}_3/F_0$ . Как и ожидалось (см. (17) и (29)), эти отношения оказались всюду малы (< 3%). Напротив, зависимость от поляризации "своего" фотона вполне заметна. На рис.3 даны графики функций  $F_0$ ,  $F_3$  и отношения  $F_3/F_0$ . Отметим, что

$$\max(F_3/F_0) = 0,19 \text{ при } \rho = 1,2, \quad x_1 = 1/2 \quad (43)$$

В старшем логарифмическом приближении

$$J = \frac{L^2 + 4L\ell + 3\ell^2}{(1+\rho)^2} \left[ 1 - \frac{2x_1(1-x_1)}{(1+\rho)^2} (1 + \rho^2 - 2\rho\Sigma_3) \right], \quad \rho \gg 1, \quad (44)$$

что совпадает с суммой вкладов (29) и (35).

3. Специальный интерес может представлять доля  $\delta$  таких событий, когда  $\mu^-$  вылетает с поперечным импульсом большим некоторого минимального

$$\delta(p_0, x_1) = \int_{p_0}^{\infty} F_0 dp / \int_0^{\infty} F_0 dp, \quad p_0 = \left( \frac{\vec{p}_{1\perp}^2}{m_\mu^2} \right)_{\min}. \quad (45)$$

График этой функции представлен на рис.4. Отметим, что зависимость этой функции от  $x$  довольно слабая и, что при больших  $p_0 \gg 1$  она падает по закону  $1/p_0$ :

$$\int_{p_0}^{\infty} F_0 dp = \frac{1}{p_0} \left\{ [1 - 2x_1(1-x_1)] [L^2 + L(4\ell_0 + 5) + 3\ell_0^2 + 8\ell_0 + 6] + \right. \\ \left. + 2x_1(1-x_1)(2L + 2\ell_0 + 3) \right\}; \quad \ell_0 = \ln p_0; \quad p_0 \gg 1;$$

$$\int_0^{p_0} F_0 dp = L^2 + 5L + 8 - x_1(1-x_1) \left( \frac{4}{3}L^2 + \frac{64}{9}L + \frac{326}{27} \right) \approx 175 - 239x_1(1-x_1).$$

## 6. РЕАКЦИЯ $\gamma\gamma \rightarrow e^+e^-e^+e^-$

I. Рассмотрение этой реакции проводится по той же схеме, что и для реакции (I). Основной вклад в сечение дают две блочные диаграммы рис. Ia, в которых мюонные линии должны быть заменены на электронные. Учет тождественности электронов приводит к тому, что в отличие от (8) сечение рассматриваемого процесса есть

$$d\sigma_{\gamma\gamma \rightarrow e^+e^-e^+e^-} = \frac{1}{2!} (d\sigma_a + d\sigma_b) = d\sigma_a. \quad (47)$$

Полностью дифференциальное сечение этого процесса определяется формулами (9-10), в которых всюду надо произвести естественную замену  $m_\mu \rightarrow m_e$ .

Энергетические распределения определяются формулами (38) и (39а), в которых

$$a = \frac{7}{8} \zeta(3) = 1,05; \quad b = c = a + \frac{1}{2} = 1,55; \quad d = a + \frac{5}{4} = 2,30; \quad (48)$$

$$f = \frac{1}{2} a - \frac{3}{8} = 0,151; \quad \zeta(3) = 1,202.$$

При  $\Sigma_- = 0$  эти распределения совпадают с полученными в работе [8]. Отметим, что вклад слагаемого пропорционального  $\Sigma_-$  мал ( $\leq 2,2\%$ ).

Интегрируя (39а) по  $x_{1,2}$ , получим полное сечение

$$\begin{aligned} \sigma_{\gamma\gamma \rightarrow e^+e^-e^+e^-} &= \frac{\alpha^4}{3\pi m_e^2} \left\{ \frac{175}{36} \zeta(3) - \frac{19}{18} + \left[ \frac{7}{72} \zeta(3) - \frac{1}{12} \right] \Sigma_- \right\} = \\ &= 6,4 (1 + 0,007 \Sigma_-) \cdot 10^{-30} \text{ см}^2. \end{aligned} \quad (49)$$

Этот результат совпадает с результатом, найденным другим способом в [12]. Основной вклад в сечение дает область  $q_{\perp} \sim m_e$ , в которой нет параметрического (типа  $1/\ln(m_\mu^2/m_e^2)$ ) для реакции (I) подавления зависящих от параметров Стокса слагаемых, однако есть численная малость  $\sim (1/4)^2 \langle \cos^2 \varphi_e \rangle \sim 3\%$  (ср. (16а) и (17)).

2. Сечение, инклозивное по  $e^\pm$ , летящим вдоль импульса первого фотона определяется формулой (41) с заменой  $m_\mu \rightarrow m_e$ . Из нее видно, что основной вклад в полное сечение происходит из области  $p_{1\perp} \sim p_{2\perp} \sim m_e$ , в которой, повидимому, трудно регистрировать частицы. При  $p_{1\perp} \gg m_e$  основной вклад дают две сущест-

венно различных кинематических области (I9) и (30), обсуждавшиеся в 3 разделе. Качественная картина соответствует тому, что оба слагаемых  $d\sigma_a^I$  и  $d\sigma_a^{II}$  (33) дают примерно одинаковые вклады.

Инклозивное сечение  $d\sigma/d^3p_1$  при  $p_{1\perp} \gg m_e$  можно получить из сечения (42), если рассмотреть в нем предел  $p_{1\perp} \gg m_\mu$ , а затем сделать замену  $m_\mu \rightarrow m_e$ . В итоге получаем

$$d\sigma_{\gamma\gamma \rightarrow e^+e^-e^+e^-} = \frac{2\alpha^4}{3\pi^2} \int \frac{d^2 p_{1\perp} dx_1}{p_{1\perp}^4}; \quad \int = F_0 + F_3 \Sigma_3 + F_- \Sigma_- + F_+ \Sigma_+ + \tilde{F}_3 \tilde{\Sigma}_3, \quad (50a)$$

где комбинации параметров Стокса определены в (42в), а

$$F_0 = 3\ell^2 + 2\ell - 2 - 6x_1(1-x_1)(\ell^2-1), \quad F_3 = -4x_1(1-x_1),$$

$$F_- = \frac{1}{2} x_1(1-x_1), \quad F_+ = x_1(1-x_1)(\ell-3), \quad (50b)$$

$$\tilde{F}_3 = -\ell + 1 + 2x_1(1-x_1)/(\ell-2),$$

$$\ell = \ln(p_{1\perp}^2/m_e^2), \quad p_{1\perp} \gg m_e.$$

Сечение с  $p_{1\perp} > p_{1\perp min}$  получается отсюда простым интегрированием

$$\begin{aligned} d\sigma_{\gamma\gamma \rightarrow e^+e^-e^+e^-} &= \frac{2\alpha^4}{3\pi} \frac{dx_1}{p_{1\perp min}^2} \left[ 3\ell_0^2 + 8\ell_0 + 6 - 6x_1(1-x_1)(\ell_0+1)^2 + \right. \\ &\quad \left. + \frac{1}{2} x_1(1-x_1)\Sigma_- \right], \quad \ell_0 = \ln(p_{1\perp min}^2/m_e^2). \end{aligned} \quad (51)$$

3. Интересно сравнить инклозивные сечения образования  $e^-$  и  $\mu^-$ , летящих вдоль направления движения первого фотона. Отношение числа  $e^-$  к числу  $\mu^-$  задается отношением функции  $F_0$  из (50в) к функции  $\beta^2 F_0$  из (42д) и представлено на рис.5. При  $p_{1\perp} = m_\mu$  электронов в 7+9 раз больше, чем мюонов, а при  $p_{1\perp}^2 = 10m_\mu^2$  это отношение уменьшается до величины 2+3. Это превышение связано с тем, что область (30) еще не дает вклада в сечение образования мюонов.

## 7. РЕАКЦИЯ $\gamma\gamma \rightarrow \pi^+\pi^-e^+e^-$

I. Мы ожидаем, что истинное (с учетом сильного взаимодействия) сечение процесса  $\gamma\gamma \rightarrow \pi^+\pi^-$  ( $\gamma^*$  - виртуальный фотон) должно падать с ростом инвариантной массы  $\gamma\gamma^*$  - системы и виртуальности фотона  $q^2 \approx -\vec{q}_L^2$ . Поэтому соотношения (8), (9) будут выполняться с высокой точностью и для реакции (3), если под  $d\sigma_1$  подразумевать истинное сечение  $\gamma\gamma \rightarrow \pi^+\pi^-$  процесса. Известно [16], что на массовой поверхности сечение процесса  $\gamma\gamma \rightarrow \pi^+\pi^-$  хорошо описывается борновским приближением (точечные пионы) от порога до значений инвариантных масс  $m_{\pi\pi}$  порядка  $m_\rho$ . Масштаб изменения этого сечения с ростом  $-q^2$  должен быть порядка  $m_\rho^2$  (модель векторной доминантности). В квантовой электродинамике этот масштаб  $m_{\pi\pi}^2$ . Поэтому в области импульсов  $\pi^\pm$  мезонов таких, что их инвариантная масса меньше  $m_\rho$ , а  $\vec{q}_L^2 < s$ , борновское приближение хорошо описывает реакцию (3). Поэтому расчеты дифференциального сечения реакции (3) в борновском приближении для этой области являются вполне обоснованными. В то же время наблюдение этой реакции, повидимому, очень затруднено из-за большого фона от процессов  $\gamma\gamma \rightarrow$  адронов с большим сечением  $\sim 3 \cdot 10^{-31} \text{ см}^2 \sim 10^3 \sigma_{\gamma\gamma \rightarrow \text{адр}}$ .

Полное сечение реакции определяется интегралом  $\int (\sigma_1/s_1) ds_1$ , в котором борновский вклад может иметь смысл нижней оценки (впрочем, быть может не плохой - из-за быстрого падения  $\sigma_1/s_1$  с ростом  $s_1$ ).

2. В борновском приближении вместо (10a) имеем

$$\frac{d\sigma_1 ds_1}{s_1} = 2\alpha^2 x_1 x_2 G \frac{d^2 p_{1L} dx_1 d^2 p_{2L} dx_2}{(\vec{p}_{1L}^2 + m_\rho^2)(\vec{p}_{2L}^2 + m_\rho^2)} \delta(\vec{p}_{1L} + \vec{p}_{2L} - \vec{q}_L) \delta(x_1 + x_2 - 1), \quad (52)$$

где функция  $G$  та же, что и в (10a) с заменой  $m_\mu \rightarrow m_\rho$ . Самым важным отличием от (10a) является другая зависимость от  $x_i$ . Сечение (52) обращается в нуль при  $x_1 \rightarrow 0$  и  $x_2 \rightarrow 1$  и имеет максимум при  $x_1 = x_2 = 1/2$ . Легко видеть, что все остальные формулы для реакции (3) могут быть получены из соответствующих формул для реакции (I), если в последних отбросить слагаемые не пропорциональные множителю  $x_1 x_2$  и результат умножить на  $(-1/2)$  (с заменой  $m_\mu \rightarrow m_\rho$ ). В частности, из (39a) получим спектры пионов (см. рис. 6):

$$d\sigma_A = \frac{4\alpha^4}{\pi m_\rho^2} x_1 x_2 \left( \beta - \frac{1}{6} d - \frac{1}{6} f \Sigma_- \right) \delta(x_1 + x_2 - 1) dx_1 dx_2. \quad (53)$$

Полное сечение реакции (3) получим, интегрируя (53) по  $x_{1,2}$  и добавляя  $\sigma_B = \sigma_A$  (см. (8)):

$$\begin{aligned} \sigma_{\gamma\gamma \rightarrow \pi^+\pi^-e^+e^-}^{\text{Born}} &= 2\sigma_A = \frac{4\alpha^4}{27\pi m_\rho^2} \left[ L^2 + \frac{16}{3} L + \frac{163}{18} - \frac{1}{12}(3L-1)\Sigma_- \right] = \\ &= 0,52(1-0,014\Sigma_-) \cdot 10^{-33} \text{ см}^2; \quad L = \ln(m_\pi^2/m_\rho^2). \end{aligned} \quad (54)$$

Сечение (54) отличается от полученного в [14] общим множителем 2 и знаком перед  $\Sigma_-$ . Первое различие связано с тем, что в [14] учтен только вклад  $\sigma_A$  и пропущен вклад  $\sigma_B$ , второе, как видно из формул, приведенных в [14], повидимому, является опечаткой.

Поляризационные эффекты в полном сечении очень малы. Однако, в инклюзивном сечении они оказываются даже больше, чем в случае реакции (I). Это сечение определяется формулами (42) с указанными заменами. Как и для реакции (I) отношения  $F_2/F_0$  и  $\tilde{F}_3/F_0$  малы (< 4%). График отношения  $(-\tilde{F}_3/F_0)$  дан на рис. 7, отметим, что для любых  $x_1$ ,

$$\max(-\tilde{F}_3/F_0) = 0,49 \text{ при } p_{1L} = m_\rho. \quad (55)$$

Мы благодарны И.Ф.Гинзбургу, А.П.Онучину, В.В.Серебрякову и В.И.Тельнову за полезные обсуждения.

## ПРИЛОЖЕНИЕ А

Амплитуду  $M$ , соответствующую диаграмме рис. Ia, можно представить в виде  $M = M_1'' M_2'' g^{\mu\nu} / q^2$ , где  $M_{1,2}$  – амплитуда верхнего (нижнего) блока на рис. Ia,  $(-g^{\mu\nu}/2)$  есть матрица плотности виртуального фотона. С точностью (7) эту матрицу можно преобразовать к виду (см. [I7], § 4.8.3)

$$g^{\mu\nu} \rightarrow \frac{q_1'' K_2''}{s} \quad (A.1)$$

или к виду

$$g^{\mu\nu} \rightarrow \frac{2s}{s_1 s_2} q_1'' q_2'' \quad (A.2)$$

Отсюда видно, что виртуальный фотон полностью поляризован и его вектор поляризации  $\vec{e}_\nu = \vec{q}_1 / |\vec{q}_1|$ . Используя (A.2), можно представить  $d\sigma_a$  в виде (9). Для расчета величин  $d\sigma_{1,2}$  удобнее использовать (A.1) и преобразовать фазовый объем с помощью соотношения

$$\delta(k_1 + k_2 - p_1 - p_2 - p_3 - p_4) \frac{d^3 p_2 d^3 p_4}{2\varepsilon_2 2\varepsilon_4} = \frac{d^2 q_\perp}{2s x_2 x_4}.$$

Оставляя в  $d\sigma_1$  лишь слагаемые конечные при  $s \rightarrow \infty$ , получим после суммирования по спиновым состояниям мюонов

$$\frac{d\sigma_1 ds_1}{s_1} = \frac{|M_1'' K_2''|^2 d^2 p_{1\perp} dx_1}{(4\pi)^2 q_\perp^2 s^2 x_1 (1-x_1)} = \quad (A.3)$$

$$= 2\alpha^2 \left[ \frac{\delta_{ij}}{(\vec{p}_{1\perp}^2 + m_\mu^2)(\vec{p}_{2\perp}^2 + m_\mu^2)} - 4x_1(1-x_1) \frac{Q_i Q_j}{q_\perp^2} \right] e_i e_j^* d^2 p_{1\perp} dx_1,$$

$$Q_i = \frac{p_{1i}}{\vec{p}_{1\perp}^2 + m_\mu^2} + \frac{p_{2i}}{\vec{p}_{2\perp}^2 + m_\mu^2},$$

где  $e_i$  – вектор поляризации первого фотона, причем индексы  $i, j$  отвечают лишь поперечным составляющим:  $i, j = x, y$ . Заменяя  $e_i e_j^* \rightarrow \beta_{ij} = \frac{1}{2} [1 + \vec{\xi} \vec{\sigma}]_{ij}$ , где  $\vec{\sigma}$  – матрица Паули, получим (10a). При записи матрицы плотности для второго фотона следует учесть, что выбранная нами система отсчета совпадает с естественной для определения параметров Стокса  $\tilde{\xi}_i$  второго фотона

при отражении  $y$  и  $z$  осей, поэтому для второго фотона

$$\tilde{\xi}_{ij} = \frac{1}{2} [1 - \tilde{\xi}_1 \sigma_x - \tilde{\xi}_2 \sigma_y + \tilde{\xi}_3 \sigma_z]_{ij}.$$

При интегрировании (A.3) по  $\vec{p}_{1\perp}$  возникают следующие интегралы

$$\frac{1}{\pi} \int \frac{d^2 p_{1\perp}}{(\vec{p}_{1\perp}^2 + m_\mu^2)(\vec{p}_{2\perp}^2 + m_\mu^2)} = \frac{4}{q_\perp^2} F_1; \quad (A.4)$$

$$\frac{1}{\pi} \int Q_i Q_j d^2 p_{1\perp} = 2 \delta_{ij} (F_2 - F_1) + 2 \frac{q_i q_j}{q_\perp^2} (2F_1 - F_2),$$

где функции  $F_{1,2}$  определены в (15).

## ПРИЛОЖЕНИЕ В

В этом приложении мы покажем, как вычисляется функция  $\mathcal{J}$  (42). При этом мы будем использовать обозначения (42в) и (42с) и удобную систему отсчета с осью  $x$  вдоль вектора  $\vec{p}_{1\perp}$ . В этой системе определим безразмерные двумерные вектора

$$\vec{p} = \vec{p}_{1\perp}/m_\mu = (P, 0); \quad \vec{q} = \vec{q}_{1\perp}/m_\mu = (q \cos \varphi, q \sin \varphi)$$

и обозначим

$$A = (\vec{p}_{1\perp}^2 + m_\mu^2)/m_\mu^2 = 1 + p; \quad \beta = (\vec{p}_{1\perp}^2 + m_\mu^2)/m_\mu^2 = (\vec{q} - \vec{p})^2 + 1$$

Тогда из (41), (42а) имеем

$$\mathcal{J} = \frac{1}{\pi} \int \frac{d^2q}{q^2} \left\{ \frac{1}{AB} - \frac{2}{q^2} x_1(1-x_1) m_\mu^2 \left[ \vec{Q}^2 + (Q_x^2 - Q_y^2) \xi_3 + 2Q_x Q_y \xi_1 \right] \cdot \right. \quad (B.1)$$

$$\cdot [f_1 - f_2 (\tilde{\xi}_3 \cos 2\varphi - \tilde{\xi}_1 \sin 2\varphi)],$$

$$\vec{Q}^2 = \frac{q^2}{A^2 B^2 m_\mu^2} \left[ 1 + q^4 + p^2 q^2 + 2pq(1-p^2) \cos \varphi - 2p^2 \cos 2\varphi \right],$$

$$Q_x^2 - Q_y^2 = \frac{q^2}{A^2 B^2 m_\mu^2} \left[ -2p^2 + p^2 q^2 + 2pq(1-p^2) \cos \varphi + (1+p^2) \cos 2\varphi \right],$$

$$2Q_x Q_y = \frac{q^2}{A^2 B^2 m_\mu^2} \left[ 2pq \sin \varphi + (1-p^2) \sin 2\varphi \right],$$

$$f_i \equiv f_i \left( q \frac{m_\mu}{m_e} \right), \quad f_1(z) = \frac{4z^2 - 1}{z\sqrt{z^2 + 1}} \operatorname{Arsh} z + 1,$$

$$f_2(z) = 1 - \frac{A \operatorname{Arsh} z}{z\sqrt{z^2 + 1}}.$$

Отметим, что

$$f_1 \rightarrow \begin{cases} \sim q^2, & q \ll m_e/m_\mu \\ 2L + 1 + 2\ln q^2, & q \gg m_e/m_\mu \end{cases}; \quad f_2 \rightarrow \begin{cases} \sim q^2, & q \ll m_e/m_\mu \\ 1, & q \gg m_e/m_\mu. \end{cases} \quad (B.2)$$

При замене  $\varphi \rightarrow 2\pi - \varphi$  коэффициенты при  $\xi_1$  и  $\tilde{\xi}_1$  в (B.1) изменяют знак, а все остальные слагаемые не изменяются. Это означает, что после интегрирования по  $\varphi$  в ответ могут войти лишь следующие комбинации параметров Стокса:  $\xi_3, \xi_3 \tilde{\xi}_3, \tilde{\xi}_3, \xi_1, \tilde{\xi}_1$ . Так как в избранной нами системе отсчета  $\Sigma_3 = \xi_3, \tilde{\Sigma}_3 = \tilde{\xi}_3, \Sigma_1 = \xi_3 \tilde{\xi}_3 - \xi_1 \tilde{\xi}_1$ , то в итоге для  $\mathcal{J}$  мы получим представление (42а), в котором

$$F_0 = \frac{1}{\pi} \int \frac{d^2q}{q^2} \left[ \frac{1}{AB} - \frac{2}{q^2} x_1(1-x_1) m_\mu^2 \vec{Q}^2 \right] \cdot f_1;$$

$$F_3 = -2x_1(1-x_1) m_\mu^2 \int \frac{d^2q}{\pi q^4} (Q_x^2 - Q_y^2) \cdot f_1;$$

$$F_- = \frac{x_1(1-x_1)}{A^2} \int \frac{d^2q}{\pi q^2 B^2} \left[ 1 + p^2(q^2-2) \cos 2\varphi + 2pq(\cos \varphi - p^2 \cos 3\varphi) + p^4 \cos 4\varphi \right] \cdot f_2; \quad (B.3)$$

$$F_+ = \frac{x_1(1-x_1)}{A^2} \int \frac{d^2q}{\pi q^2 B^2} \left[ p^4 + p^2(q^2-2) \cos 2\varphi + 2pq(\cos 3\varphi - p^2 \cos \varphi) + \cos 4\varphi \right] \cdot f_2;$$

$$\tilde{F}_3 = -\frac{1}{\pi} \int \frac{d^2q}{q^2} \left\{ \frac{\cos 2\varphi}{AB} - \frac{2x_1(1-x_1)}{A^2 B^2} \left[ -p^2(1 + \cos 4\varphi) + pq(1-p^2) \cdot \right. \right. \\ \left. \left. + (\cos \varphi + \cos 3\varphi) + (1 + p^2 q^2 + p^4) \cos 2\varphi \right] \right\} \cdot f_2.$$

Для определения этих функций необходимо вычислить 12 интегралов следующих двух типов:

$$C_{rs}^n = \frac{1}{\pi} \int \frac{q^n \cos n\varphi}{q^{2r} B^s} f_1 d^2q; \quad E_{rs}^n = \frac{1}{\pi} \int \frac{q^n \cos n\varphi}{q^{2r} B^s} f_2 d^2q. \quad (B.4)$$

При вычислении этих интегралов мы отбрасывали малые слагаемые  $\sim m_e^2/(\vec{p}_{1\perp}^2 + m_\mu^2) = m_e^2/A m_\mu^2$ . В итоге необходимые для получения (42д) интегралы равны

$$\begin{aligned}
E_{12}^1 &= \frac{\sqrt{s}}{A}, \quad E_{21}^1 = \frac{\ell}{s} - \frac{1}{A}, \quad E_{22}^1 = \frac{s}{A^2}, \quad E_{12}^2 = 1 - \frac{\ell}{s}, \\
E_{22}^3 &= \frac{g}{s^{3/2}} \left[ -\ell + \frac{s(2+g)}{2A} \right], \quad E_{32}^4 = -\frac{3\ell}{s^2} + \frac{1}{A^2} \left( \frac{3}{s} + \frac{g}{2} + g \right), \\
E_{12}^0 &= \frac{1}{A^2} (L - 3 + 2\ell + g), \quad C_{11}^0 = \frac{R}{A}, \quad C_{12}^0 = \frac{1}{A^2} [R + (p-1)(2L+1) + 2\ell(p-3)], \\
C_{02}^0 &= 2L+1+2\ell, \quad C_{22}^2 = \frac{1}{A^2} [(2L+1)g + 2 - 2\ell(\frac{1}{s} + 2 - g)], \quad (B.5) \\
C_{12}^1 &= \frac{\sqrt{s}}{A} [2L+1 - 2\ell(\frac{1}{s} - 1)].
\end{aligned}$$

Коротко поясним способ вычисления этих интегралов. Из определения (B.4) и свойств функции  $f_2$  (B.2) видно, что первые шесть интегралов конечны при  $m_e \rightarrow 0$ , поэтому в них можно заменить  $f_1 \rightarrow 1$ , после чего они преобразуются простой вид

$$\frac{1}{\pi} \int \frac{\operatorname{Re}[(q_x + iq_y)^n]}{(\vec{q}^2)^{\frac{n}{2}} [(q^2 - p^2)^2 + 1]^s} d^2q = p^n \frac{(r+s-2)!}{(r-1)!(s-1)!} \int_0^1 \frac{\alpha^{r-1} (1-\alpha)^{n-s}}{(\alpha p^2 + 1)^{r+s-1}} d\alpha.$$

Подынтегральные функции остальных шести интегралов содержат логарифмические особенности при  $m_e \rightarrow 0$ . Для их вычисления удобно разбить область интегрирования по  $q^2$  на два интервала:

$q^2 < \sigma$  и  $q^2 > \sigma$ , где  $m_e^2/A m_\mu^2 \ll \sigma \ll 1$ . В первой области можно полагать  $B = A$ , после чего остается интеграл

$$\int_0^\sigma \frac{dq^2}{q^2} f_1 = (L + \ln \sigma)^2 + L + \ln \sigma - 2; \quad \int_0^\sigma \frac{dq^2}{q^2} f_2 = L + \ln \sigma - 2.$$

Во второй области можно вместо функции  $f_1$  использовать ее асимптотику  $f_1 \rightarrow 2L+1 + 2 \ln q^2$ , что приводит к упрощению вычислений. В окончательном ответе параметр  $\sigma$  исчезает.

## ЛИТЕРАТУРА

- [1] A.N.Skrinsky, Int.Seminar on Perspectives in High Energy Physics, Morges, Switzerland (1971).
- [2] V.E.Balakin, A.N.Skrinsky, preprint INP 81-129 Novosibirsk (1981).
- [3] P.Panofsky, Int.Symp. on Lepton and Photon Interaction at High Energies, Bonn (1981).
- [4] I.F.Ginzburg, G.L.Kotkin, V.G.Serbo, V.I.Telnov, preprint INP 81-50 Novosibirsk (1981); Eksp.Teor.Fiz. Pis'ma 34 (1981) 514.
- [5] I.F.Ginzburg, G.L.Kotkin, V.G.Serbo, V.I.Telnov, preprint INP 81-102 Novosibirsk (1981).
- [6] C.Akerlof, preprint UM HE 81-59 Ann Arbor (1981).
- [7] A.M.Kondratenko, E.V.Pakhtusova, E.L.Saldin, preprint INP 81-130 Novosibirsk (1981).
- [8] V.E.Baier, V.S.Fadin, V.A.Khoze, E.A.Kuraev, Physics Rep. 78 (1981) 293.
- [9] V.G.Serbo, Eksp.Teor.Fiz.Pis'ma 12 (1970) 50. 452.
- [10] S.L.Panfil, V.G.Serbo, preprint IAE 178 Novosibirsk (1982); Yad.Fiz. in print.
- [11] M.Masujima, Nucl.Phys. B24 (1970) 182.
- [12] H.Cheng, T.T.Wu, Phys.Rev. D1 (1970) 3414; L.N.Lipatov, G.V.Frolov, Sov.J.Nucl.Phys. 13 (1971) 333.
- [13] S.J.Brodsky, T. De Grand, J.Gunion, J.Weis, Phys.Rev. D19 (1978) 1418.
- [14] H.Cheng, T.T.Wu, Phys.Rev. D2 (1970) 2103.
- [15] V.M.Budnev, I.F.Ginzburg, G.V.Meledin, V.G.Serbo, Physics Rep. 15C (1975) 181.
- [16] V.M.Budnev, A.N.Vall, V.V.Serebryakov, Yad.Fiz. 21 (1975) 1033.
- [17] A.I.Achiezer, V.B.Berestecky, Quantum Electrodynamics, Nauka, Moscow (1981).

Подписи к рисункам:

Рис.2. Обозначения углов для инклузивного сечения (42). Вектор  $\vec{n}_1(\vec{n}_2)$  задает направление максимальной линейной поляризации первого (второго) фотона.

Рис.3. а) Зависимость  $F_0, F_3$  (42) от поперечного импульса  $\mu^-$ .  
б) Зависимость асимметрии  $F_3/F_0 = (d\sigma_a'' - d\sigma_a^\perp)/(d\sigma_a'' + d\sigma_a^\perp)$  инклузивного сечения реакции  $\gamma\gamma \rightarrow \mu^+\mu^-e^+e^-$  от поперечного импульса  $\mu^-$ ;  $d\sigma_a''(d\sigma_a^\perp)$  отвечает случаю, когда направление максимальной поляризации первого фотона лежит в плоскости  $\vec{P}_{\mu^-}, \vec{k}_1$  (перпендикулярно к ней).

Рис.4. Для мюонов с  $P_{1\perp} > P_{1\perp min}$  в зависимости от  $P_{1\perp min}/m_\mu^2$  при  $X_1 = 0$ .

Рис.5. Сравнение инклузивных сечений процессов  $\gamma\gamma \rightarrow e^+e^-e^+e^-$  и  $\gamma\gamma \rightarrow \mu^+\mu^-e^+e^-$  для случая неполяризованных фотонов.

Рис.6. Энергетический спектр пионов, летящих вдоль импульса первого фотона в реакции  $\gamma\gamma \rightarrow \pi^+\pi^-e^+e^-$ .

Рис.7. Зависимость асимметрии  $F_3/F_0 = (d\sigma_a'' - d\sigma_a^\perp)/(d\sigma_a'' + d\sigma_a^\perp)$  инклузивного сечения реакции  $\gamma\gamma \rightarrow \pi^+\pi^-e^+e^-$  от поперечного импульса  $\pi^-$ ;  $d\sigma_a''(d\sigma_a^\perp)$  отвечает случаю, когда направление максимальной поляризации первого фотона лежит в плоскости  $\vec{P}_{\pi^-}, \vec{k}_1$  (перпендикулярно к ней).

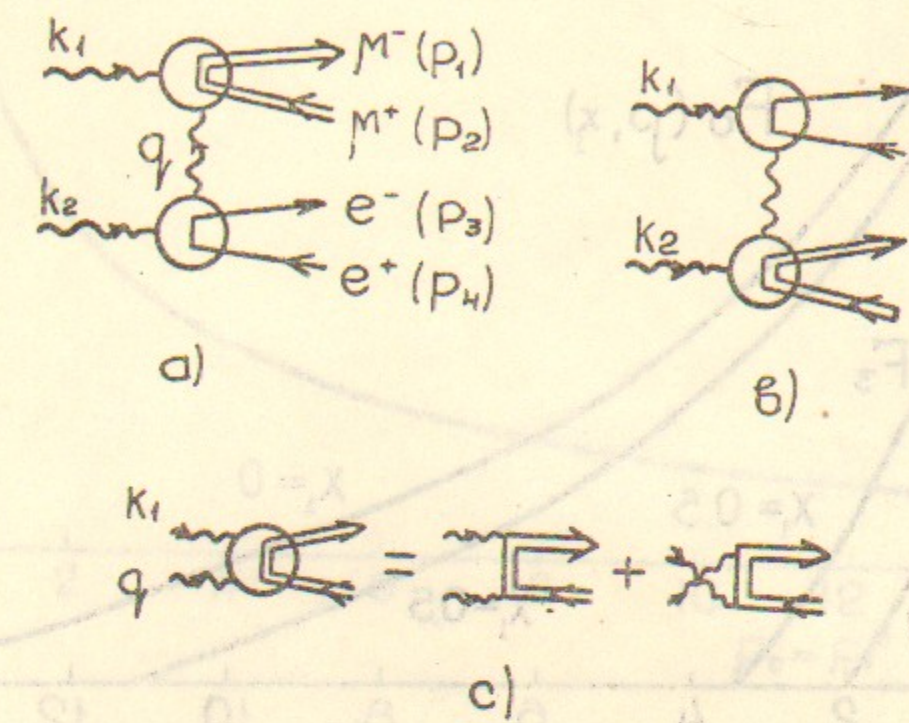


Fig. 1

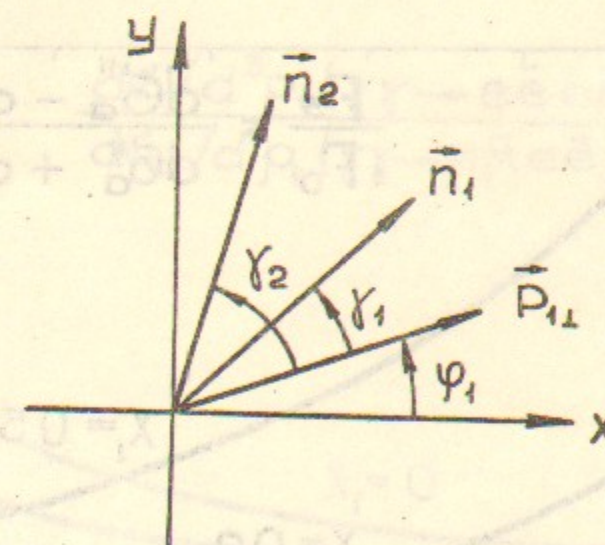


Fig. 2

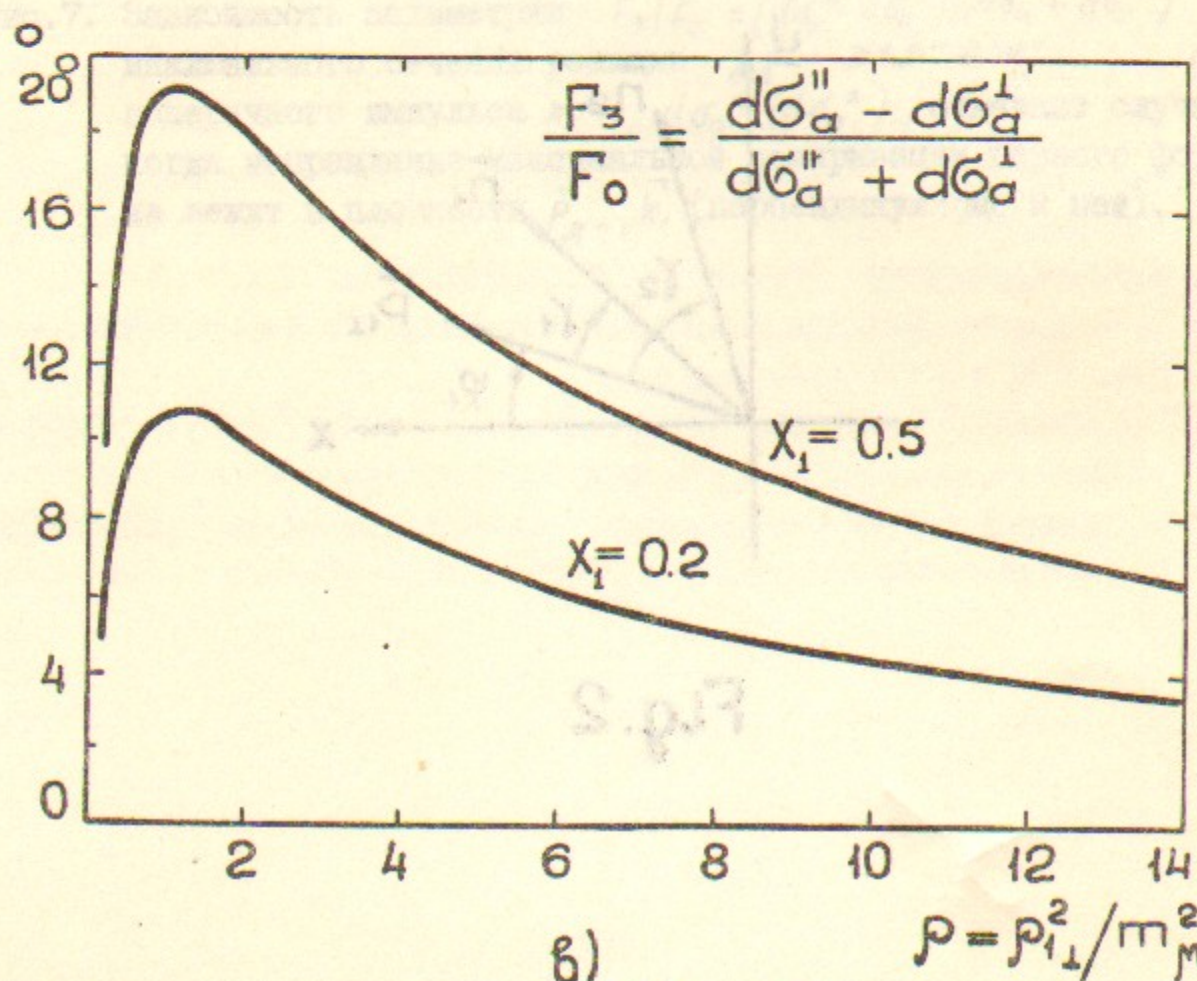
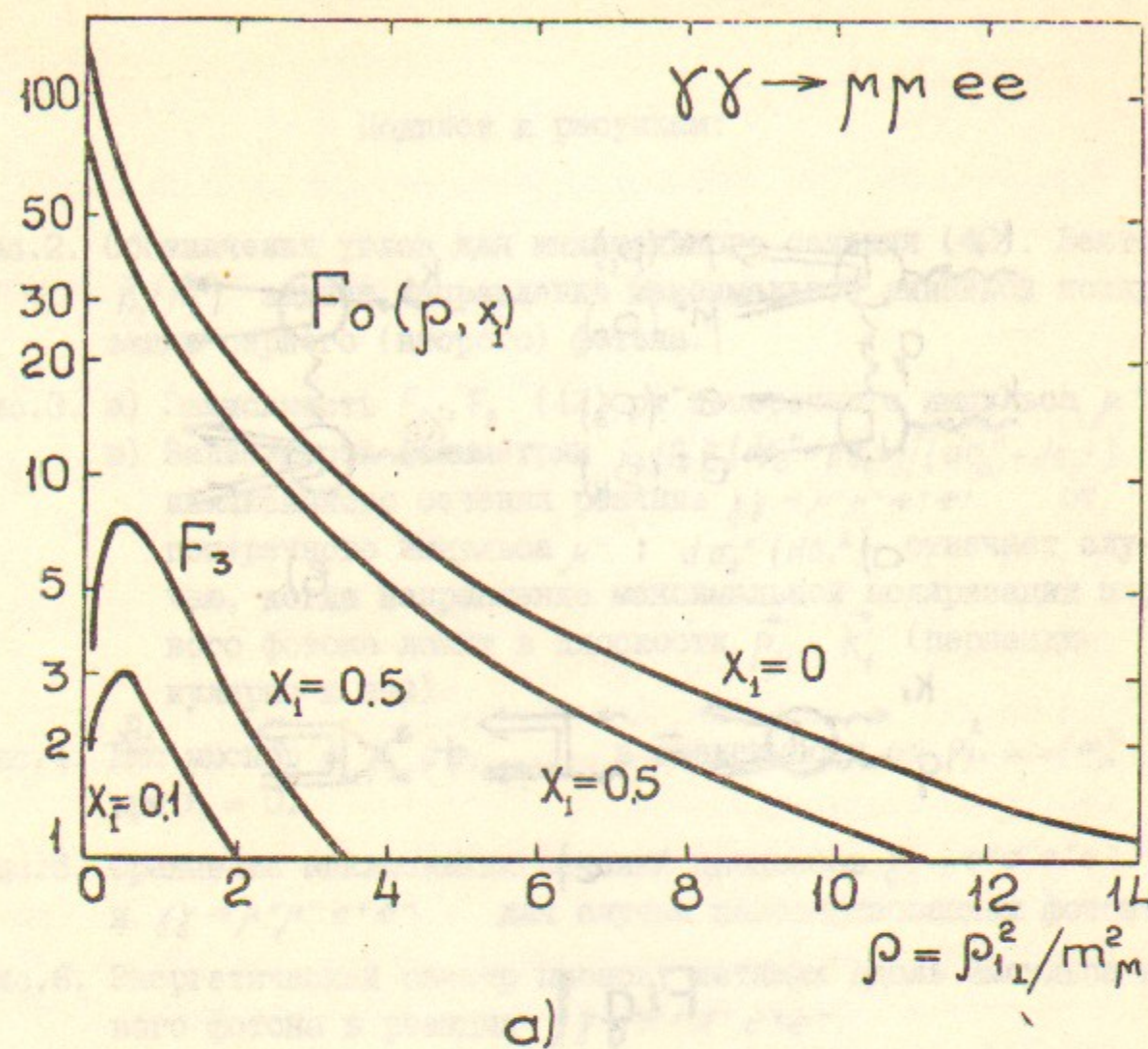


Fig. 3

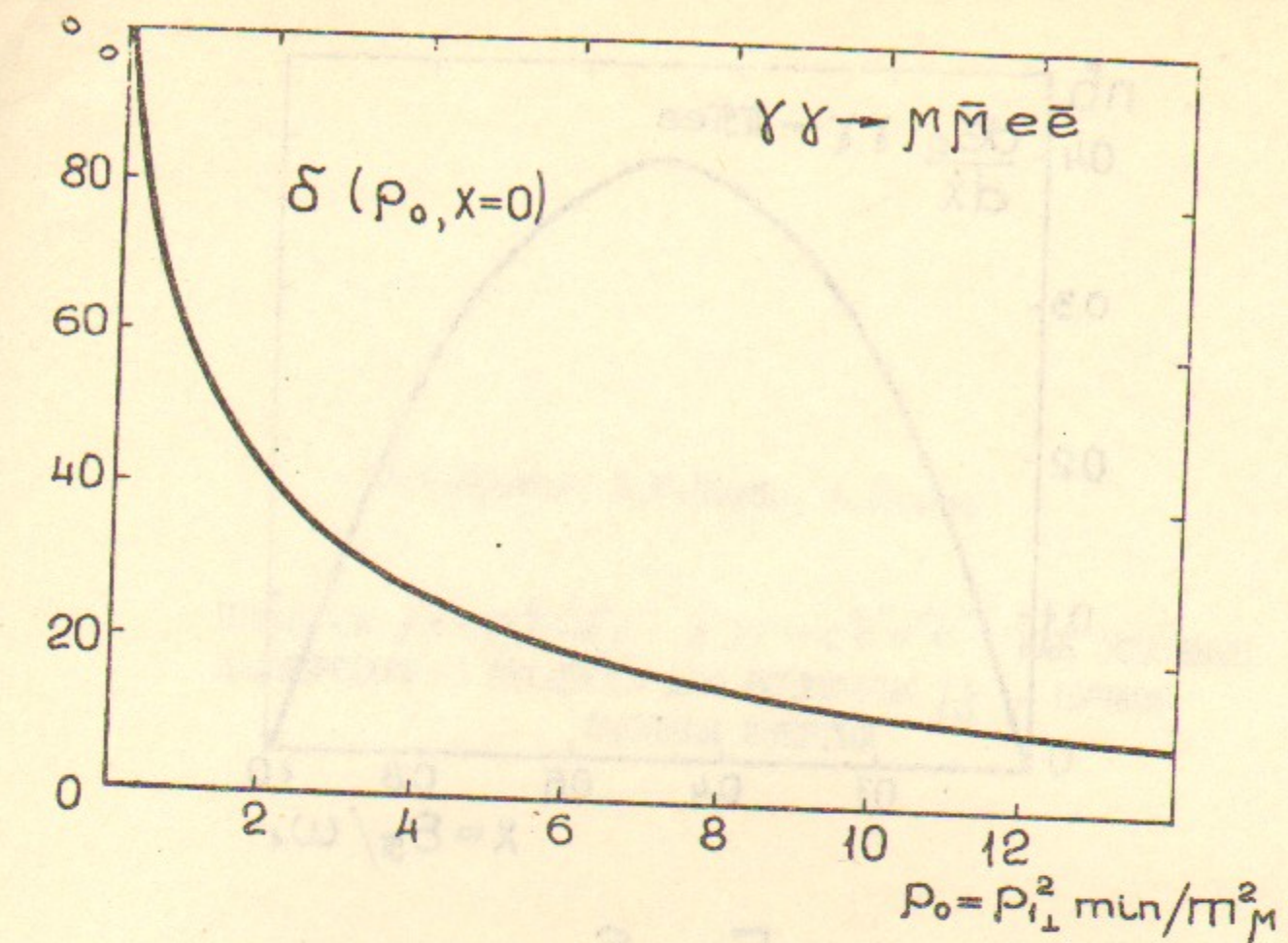


Fig. 4

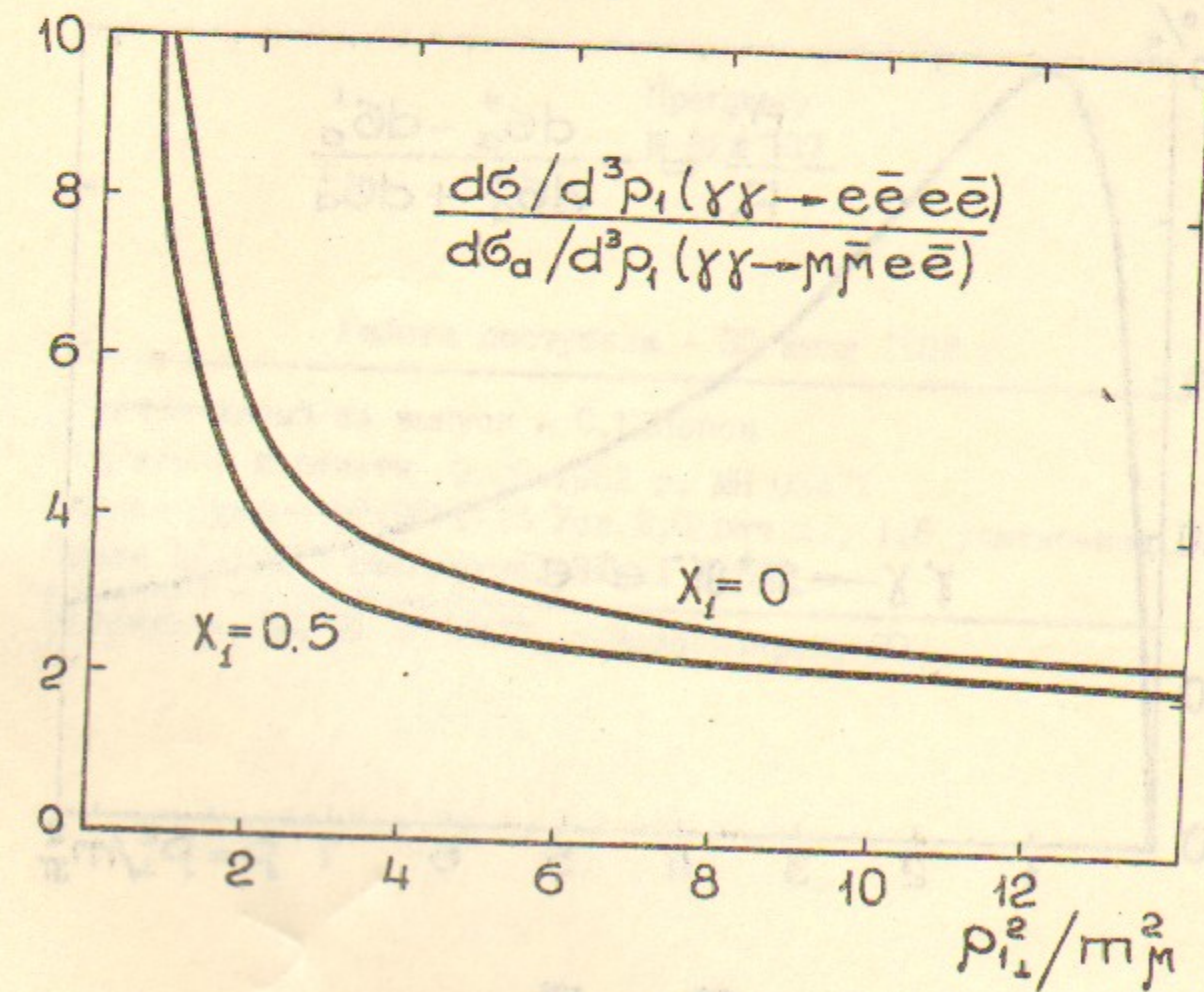


Fig. 5

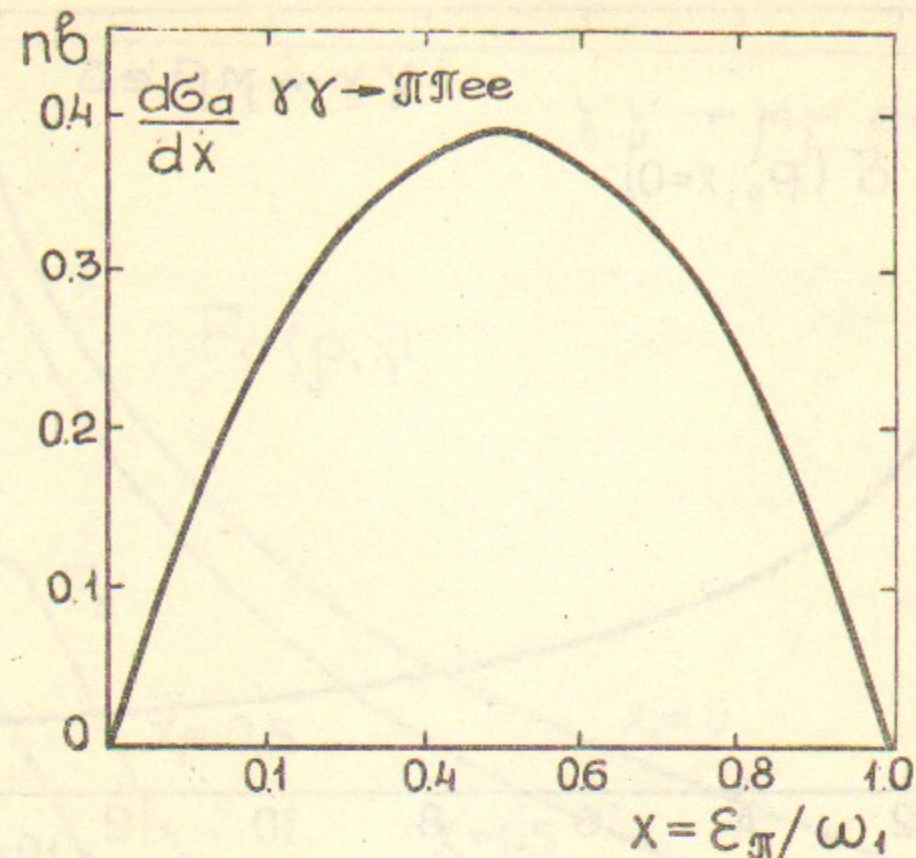


Fig. 6

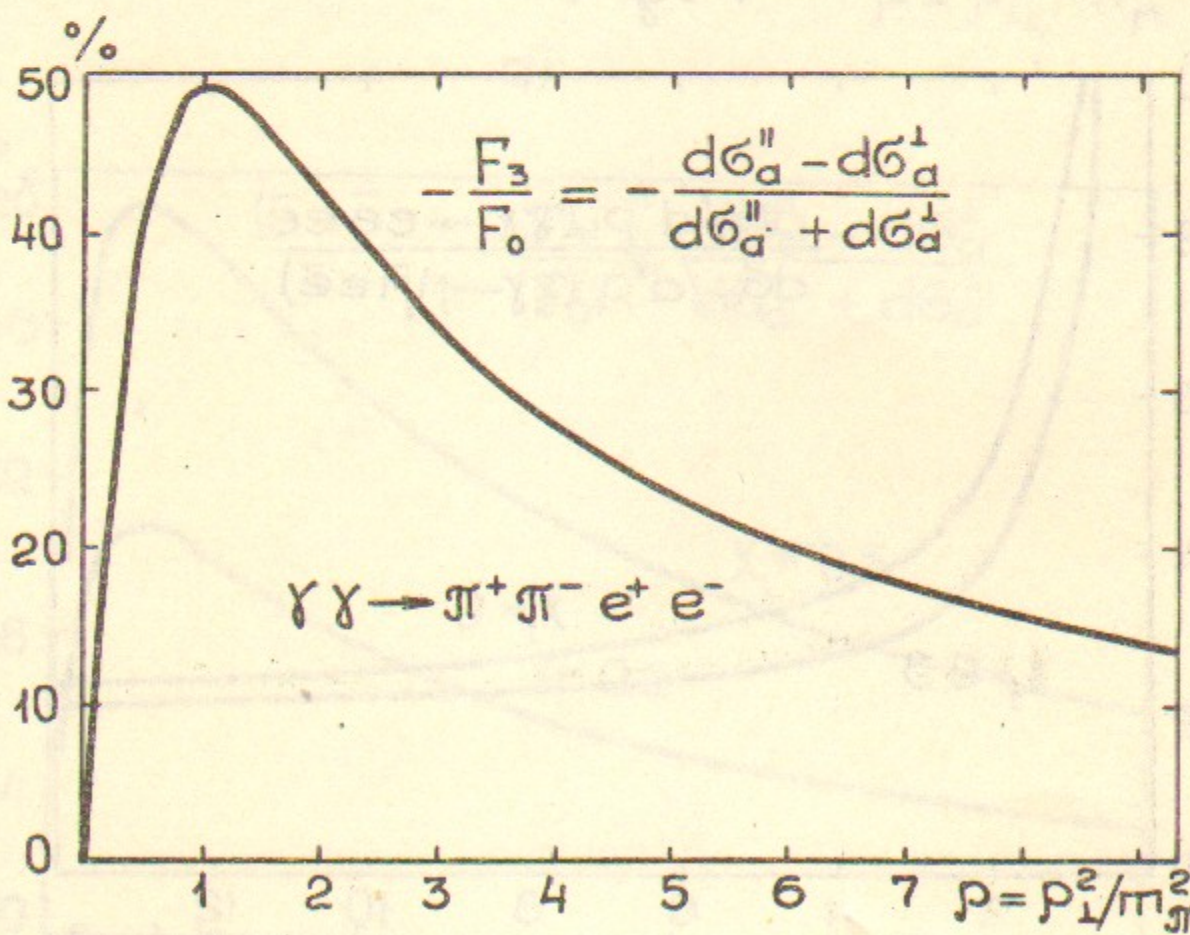


Fig. 7

Э.А.Кураев, В.Г.Сербо, А.Шиллер

ПРОЦЕССЫ  $JJ \rightarrow \mu^+ \mu^- e^+ e^-$  И  $JJ \rightarrow e^+ e^- e^+ e^-$  КАК ОСНОВНЫЕ  
КАЛИБРОВОЧНЫЕ ПРОЦЕССЫ ДЛЯ ВСТРЕЧНЫХ  $JJ$ -ПУЧКОВ  
ВЫСОКОЙ ЭНЕРГИИ

Препринт  
№ 82-107

Работа поступила - 30 июля 1982 г.

Ответственный за выпуск - С.Г.Попов  
Подписано к печати 9.08-1982 г. МН 03471  
Формат бумаги 60x90 I/16 Усл.2,0 печ.л., 1,6 учетно-изд.л.  
Тираж 150 экз. Бесплатно. Заказ № 107.

Ротапринт ИЯФ СО АН СССР, г.Новосибирск, 90